

用于激光核聚变装置的光路自动准直

陈庆浩 徐仁芳 彭增云 范彩龙 庄亦飞

(中国科学院上海光学精密机械研究所, 上海 201800)

摘要 介绍了用于激光核聚变装置光路自动准直系统, 讨论了光束位置探测器, 激光器, 微机等技术问题。实验结果是自动光轴调整精度为光束直径的±1%。

关键词 光束位置探测器, 激光器, 微机。

核聚变激光装置出射的光束一般是长距离传输, 并采用多路光束结构, 光路中有多种光学元件, 光轴的人工调整工作繁重, 且精度不高。为了解决这个问题, 高功率激光装置用光电探测光束位置, 并用微机控制驱动伺服反射镜, 进行光轴自动调整, 即光路自动准直^[1, 2]。作者在光电探测器, 准直光源, 微机控制等方面、激光装置部分光路上作了一些研究, 取得了结果, 并将在核聚变激光装置上全面使用光路自动准直, 以期进一步提高装置调整精度。

1 两个振荡器光轴的同轴调整

激光装置光路准直要求从主振荡器光束开始, 经过激光放大器系列到末级输出, 光束角移动小于5°。光束在长距离传输中, 每一个连接部分, 都要对光束进行探测、调整。为了使每一个探测器都接受到足够的激光功率, 采用专用的准直激光振荡器, 在光路自动准直调整结束后, 要将激光主振荡器光束自动耦合到主光路中去, 且保证一定的精度。这就需要两个振荡器光轴自动调整的装置。其装置如图1所示。

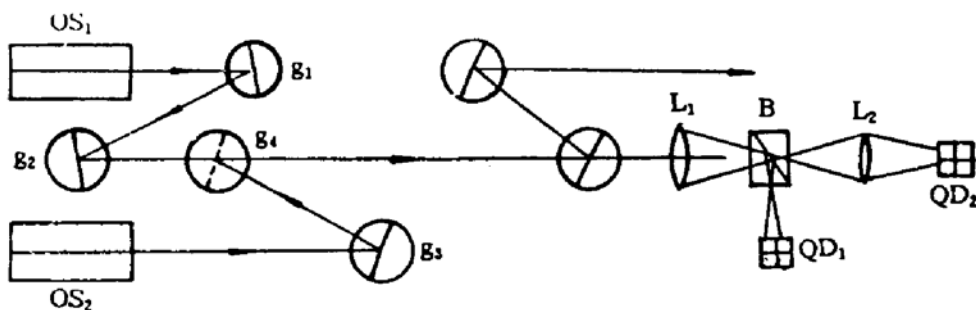


Fig. 1 The arrangement of co-alignment between the master oscillator and the alignment oscillator

OS₁: alignment oscillator, L₁, L₂: lens, OS₂: master oscillator, QD₁, QD₂: quadrant detector, g₁, g₂, g₃, g₄: mirror 1, mirror 2, mirror 3, removable mirror 4

准直激光振荡器产生的激光束经g₁、g₂伺服反射镜反射、准直物镜L₁分为远场和近场, 远场用四象限管探测器QD₁监测光束角移, 近场用四象限管探测器QD₂监测光束平移。g₁、g₂

一旦产生变化, QD_1 和 QD_2 就有误差信号, 将由计算机控制 g_1 、 g_2 , 使光束恢复原来位置。当使用主振荡器 OS_2 时, 将伺服反射镜 g_1 推入光路依照上述程序进行光轴自动调整, 使其光轴与 OS_1 相一致。一般说来, 两个振荡器光斑轮廓并不一致, 光斑的能量分布也不都很均匀, 且能量分布又是逐日不同。四象限管探测的是能量中心而要求的是轮廓中心, 轮廓中心和能量中心有一定偏差。尽量提高两振荡器的光束质量, 这个要求和激光核聚变总体要求是一致的。再就是把光束扩束 50 倍, 即直径 100 mm, 用光栏切取中间 20 mm 的光斑, 其均匀性大大提高, 通过以上两个措施, 光束轮廓中心和能量中心的偏差得到显著改善, 通过计算机数次反馈调整, 光束中心的精度是其直径的 $\pm 1\%$, 光束角移精度 $< 10^\circ$ 。

2 放大器链光束中心的调整

以物镜和四象限管组成近场探测器, 探测光束中心位置, 计算机反馈控制光束, 使光束中心精度在 $\pm 1\%$ 。只有各级放大器都保证该精度, 末级输出光束角精度才能提高。

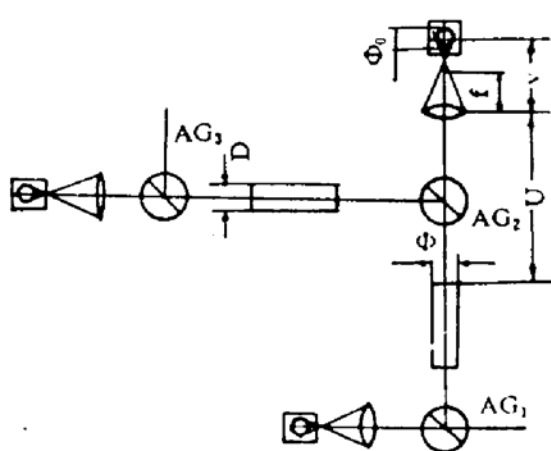


Fig. 2 The arrangement of amplifier chain alignment

放大器光束调整程序: 光路如图 2 所示。振荡器激光经伺服反射镜 AG_1 反射, 使光束通过放大器, 再由 AG_2 反射镜反射, 光束进入下一个放大器。在 AG_2 后面(透过率 1%)配置四象限管近场光束探测器, 探测 AG_1 — AG_2 光束位置, 根据四象限管上光束中心的偏离, 微机计算步进马达的步进数驱动 AG_1 , 光束位置进入误差范围内, 调整结束。以此类推, 调整 AG_2 , 使下一光束中心调整到光轴中心。调整过程中, 还需要 AG_1 和 AG_2 联调, 使光束角移和平移在误差范围内。

近场光学参数的确定。设放大器某一参数点, 例如以激光棒末端 ϕ 为参考点, 相当人工调整时的观察点, 以此为物, 在焦距为 f 物镜后光斑 ϕ_0 为像。则物距 u , 像距 v 和焦距 f 的关系为: $1/u + 1/v = 1/f$ 。物的放大倍数为 $\beta = \phi/\phi_0 = u/v \sim u/f$ 。光束位置的变化相当于物的高低的变化, 用 $\Delta\phi$ 表示。像也随着变化, 用 $\Delta\phi_0$ 表示, 其关系为 $\Delta\phi/\phi = \Delta\phi_0/\phi_0$, $\Delta\phi = \phi \times \Delta\phi_0/\phi_0$ 。

系统探测和调整精度是 $\pm 1\%$, 因此光束中心的调整偏差是光束直径的 $\pm 1\%$, 即 $\Delta\phi = \pm \phi \times 1\%$ 。在光束传输距离较远时, 光功率弱, 探测的光电信号信噪比较小, 系统探测和调整精度是 $\pm 2\%$, 那末光束中心调整偏差是光束直径的 $\pm 2\%$ 。近场探测光束角移及其精度的确定。光束调整后, 必须要知道它的传输方向, 即光束角移。已知光束调整精度 $\Delta\phi$, 是很容易求得光束角移 δ 的。但光路中是否存在空间滤波器, 光束角移的求法是不一样的。

2.1 光路中无空间滤波器时光束角移

$$\delta = \Delta\phi/L, \quad \text{当 } \Delta\phi = \pm \phi \times 1\% \text{ 时} \quad \delta = \pm \phi \times 1\%/L.$$

式中 L 为反射镜之间距离, 即光路长度。

2.2 光路中有空间滤波器时光束角移 δ

如图 3 所示, 设空间滤波器的出射角为 δ_1 , 则它的入射角为 $(\phi_2/\phi_1)\delta_1$; 那末光束末端的偏移量 $\Delta\phi_2$ 和角度 δ 分别为:

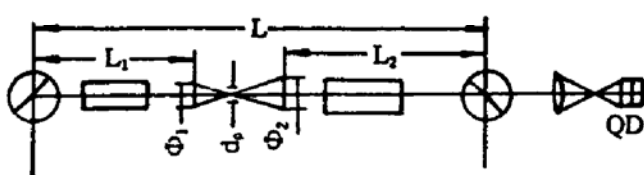


Fig. 3 The beam alignment with spatial filter

$$\Delta\phi_2 = [L_1(\phi_2/\phi_1)\delta_1] (\phi_2/\phi_1) + L_2\delta_1;$$

$$\delta = \Delta\phi_2/[L_1(\phi_2/\phi_1)^2 + L_2].$$

$\Delta\phi_2$ 是系统的探测精度，即 $\Delta\phi_2 = \pm \phi_2 \times 1\%$. 这里 ϕ_1, ϕ_2 分别是空间滤波器输入输出透镜孔径， L_1, L_2 分别是反射镜到输入镜、输出镜的距离。由于加入空间滤波器的小孔，给光路准直带来了困难，设计时要密切注意小孔挡光问题。

3 提高末级输出调整精度

为了使主放大器链末级输出引向靶场，有两块伺服反射镜调整光束。本文是通过两块反射镜调整，使光束角移小于 $5'$ ，光束探测用近远场光学系统，如图 4 所示。

3.1 远场探测角移 δ

光束通过物镜 L_1 ，它的焦斑为： $y = 1.22(\lambda/d)mf$ ，经物镜 L_2 放大成象四象限管上，光斑口径为 d 。

$$d = \beta y, \quad \Delta d = \beta \Delta y, \quad \Delta d/d = \Delta y/y$$

$$\Delta y = \delta f, \quad \Delta y = y(\Delta d/d)$$

$$\delta = (y/f)(\Delta d/d) = 1.22(\lambda/\Phi)m \times (\Delta d/d)$$

近远场探测的误差信号通过计算机控制两平行反射镜，保证末级的精度，光束角移和平移的调整如图 5 所示。

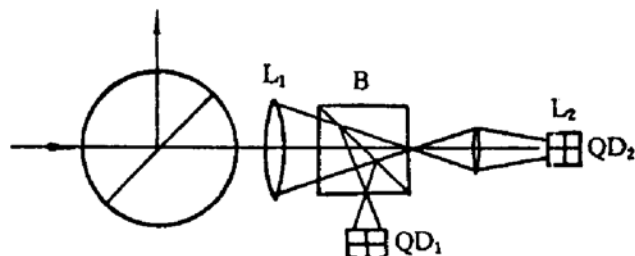


Fig. 4 The configuration of the near-far field beam detectors

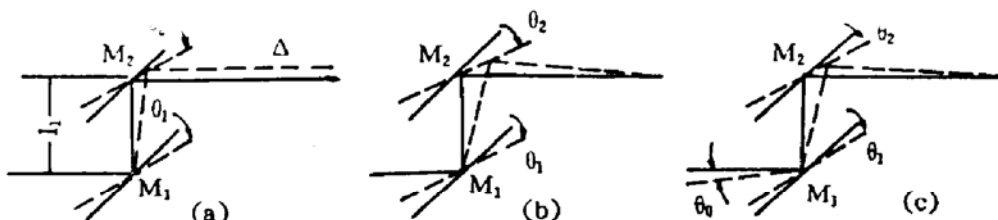


Fig. 5 The alignment of the beam angle-deviation and parallel-shift

- (1) 图 5(a)， M_1, M_2 各转 θ_1, θ_2 ，且 $\theta_1 = \theta_2 = \theta$ 输出光束平移量： $\Delta = l_1(2\theta) = 2l_1\theta$ ；
- (2) 图 5(b)，原平行 M_1, M_2 各转 θ_1, θ_2 ，那么输出光束有角移： $\delta = 2(\theta_2 - \theta_1)$ ；
- (3) 图 5(c)， M_1, M_2 各转 θ_1, θ_2 ，入射光也有角移 θ_0 ，则输出光角移： $\delta = 2[\theta_2 - (\theta_1 + \theta_0/2)]$ 。

通过近远场探测平移 Δ 和角移 δ ，使 $\delta < 5'$ 平移是小于光束直径的 $\pm 1\%$ 。

4 硅四象限管光电探测器

硅四象限管在波长 $1.06 \mu m$ 处的灵敏度为 $0.2 A/W$ ，对 50Ω 负载上升时间 $3 ns$ ，四象限管对 $200 ns$ 的激光调 Q 脉冲能响应，采用脉冲峰值探测，提高灵敏度和信噪比，也就是提高调整精度。四象限管按和差方式工作，元件光敏面在透镜焦面之后，光斑是个圆，按能量分布，各个象限都占一部分，如图 6 所示。四象限管和差基本方程为

$$\Delta V_s = \pm [(V_A + V_B) - (V_C + V_D)] / (V_A + V_B + V_C + V_D)$$

$$\Delta V_v = \pm [(V_B + V_C) - (V_A + V_D)] / (V_A + V_B + V_C + V_D)$$

式中 $\Delta V_s, \Delta V_v$ 分别代表高低和方位输出的误差电压，正负号表示系统的正反向，分母求和是

系统归一化处理。作出四象限管方位误差特性曲线，如图 7 所示。 ΔX 为 mm, ΔV_z 仔细测量了和差信号的灵敏度，光斑直径 2 mm，光斑移动 0.02 mm，误差信号有 1% 的变化，所以探测光束直径的 1% 的变化是可能的。

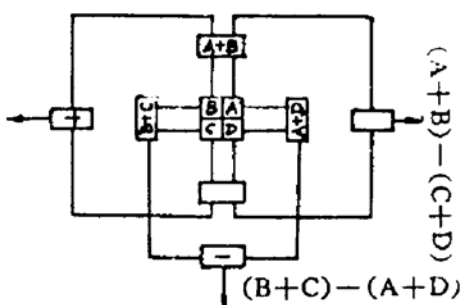


Fig. 6 The quadrant detector Sum-differential scheme

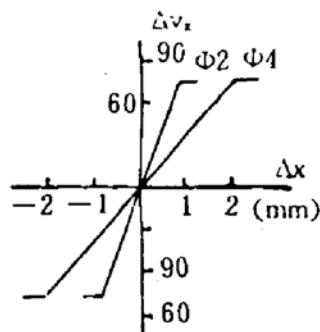


Fig. 7 Error characteristic curve of the quadrant detector

值得注意的是四象限管探测能量中心，光路有些元件的损坏，使光束强度形状变化，会引起较大的调整误差。这是使用四象限管的缺点。

5 准直光源

作为准直光源的激光振荡器的输出稳定性是至关重要的。准连续锁模激光器的装置的主振荡器，作者曾努力提高锁模振荡器输出的稳定性^[3]，振荡器用三根殷钢架支撑，氪灯、晶体棒、调制器温度得到严格控制，振荡器输出幅度短期稳定性好于 2%，光束抖动也好于 3°。这样的振荡器作为准直光源是可以的。但对大型激光装置而言，它的功率还不够，需要另配制准直激光振荡器，即重复率调 Q 激光器。为了提高它的稳定性，采取以下措施，

- (1) 采用高稳定性调整架，铸铁支承架，稳定安装。
- (2) 减小流水对晶体棒的冲击，加缓冲装置。
- (3) 加强对冷却水的温度控制，可以控制在土 2% °C 的变化范围。

这样的激光器输出平均功率 2 W，重复率 1 kHz 几十分钟内幅度稳定性好于 5%，光束的稳定性很好。通过光束位置的检测，其精度好于土 1%。

6 实验结果

光路自动准直实验光路图如图 8 所示，准直振荡器 AL-OS 的调 Q 激光脉冲通过伺服反射镜 G₁、G₂ 反射，激光在 G₅ 透过 1% 能量被近场探测器 QD₁ 远场探测器 QD₂ 接受，它们产生的误差信号由计算机反馈控制 G₁、G₂，使光束 G₂~G₅ 调整到原先的光轴上去。在光路 G₂~G₅ 中插入 G₄，锁模振荡器 LM-OS 的激光通过伺服反射镜 G₃、G₄，激光在 G₅ 透过 1% 能量也被 QD₁、QD₂ 接受，它们产生的误差信号由计算机反馈控制 G₃、G₄，使光束 G₄~G₅ 调整到原来调好的光轴上去。经过这样的调整，两个振荡器

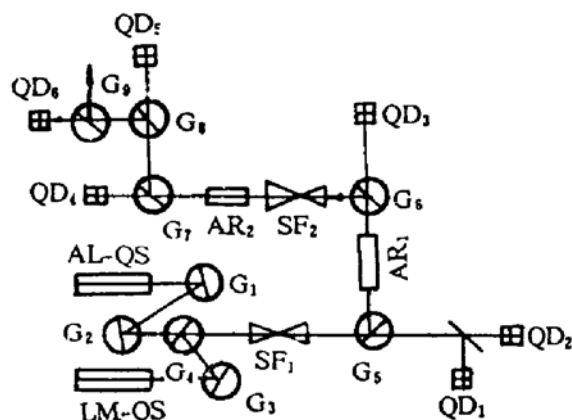


Fig. 8 The experimental automatic optical alignment scheme

AL-OS: Alignment Oscillator, L₁, L₂: lens, G₁~G₈: Mirror 1~Mirror 8, LM-OS: Locked mode oscillator, AR₁, AR₂: Amplifier rod, QD₁~QD₅: Quadrant detector, SF₁~SF₂: Spatial filter

的光轴在 $G_4 \sim G_5$ 上同轴了，两个振荡器的光轴的角差小于 $10''$ （用可调焦平行光管测量）。

AL-OS 的激光经 G_5 反射，在 G_6 透过 1% 能量被近场探测器 QD_3 接受，使直径 20 mm 的 $G_5 \sim G_6$ 光束中心位置误差只有光束直径的 $\pm 1\%$ 。激光再由 G_6 反射，在 G_7 后面有近场 QD_4 接收，计算机反馈控制伺服反射镜 G_6 ，使直径 $\Phi 40$ mm 的 $G_6 \sim G_7$ 光束中心位置误差是光束直径的 $\pm 1\%$ 。光路中有空间滤波器 SF_2 ，它改变了平移量的大小和角移的方向，但通过计算机判别是能调整好的。空间滤波器的小孔限制了四象限管控测视场，实验显示，只要四象限管有一个象限有激光信号，计算机就能自动调整光束，当光束全被小孔挡住，则不能自动调整。两平行反射镜 G_7G_8 调整光束， QD_5 是近场探测， QD_6 是远场控测，最后光束角移应小于 $5''$ （可调焦平行光管只能测 $10''$ ）。表 1 列出实验数据表明，四象限管输出信号误差该是 $\pm 1\%$ 。实验是先把光路调偏，但光束须在四象限管视场范围内，微机逐个反馈控制伺服反射镜，光束能自动准直到光路中去。

Table 1. Experiment data

QD _n	QD each quadrant signal (%) (No. 1 group date)				accuracy		QD _n	QD each quadrant signal (%) (No. 2 group date)				accuracy				
	X (AZ.)		Y (EL.)					A		B		C		D		
	A	B	C	D	%	%		A	B	C	D	%	%			
QD ₁	26	24	26	23	+1	+1	QD ₁	26	24	26	23	+1	+1			
QD ₂	25	24	26	24	-1	+1	QD ₂	26	23	26	23	0	0			
QD ₃	26	23	26	23	0	0	QD ₃	26	23	25	23	+1	-1			
QD ₄	25	24	25	24	0	0	QD ₄	26	24	26	23	+1	+1			
QD ₅	24	26	24	25	+1	-1	QD ₅	24	25	25	25	-1	-1			
QD ₆	25	23	26	23	-1	-1	QD ₆	26	24	26	23	+1	-1			

参 考 文 献

- [1] D. R. Speck, E. S. Bliss, J. A. Glaze et al., The shiva Laser-fusion facility. *IEEE J. Quant. Electron.*, 1981, QE-17(9) : 1599~1619
- [2] C. Yamanaka, Y. Kato, Y. Izawa et al., Nd-doped phosphate glass laser system for laser-fusion research. *IEEE J. Quant. Electron.*, 1981, QE-17(9) : 1639~1649
- [3] 陈庆浩, 徐仁芳, 王剑雄等, 主动锁模电光调 Q Nd:YLF 振荡器. 中国科学院、中国工程物理研究院, 高功率激光物理联合研究室年刊, 1990, 64~69

Automatic Optical Alignment for Laser-Fusion Facility

Chen Qinghao Xu Renfeng Peng Zengyun

Zhu Cailong Zhuang Yifei

(Shanghai Institute of Optics and Fine Mechanics, Academia Sinica, Shanghai 201800)

(Received 1 February 1994; revised 16 March 1994)

Abstract The paper describes an automatic optical alignment system for laser-fusion facility. Technical problems concerning the beam centering sensor, laser and the computer etc are discussed. The experimental result on the accuracy of beam centering alignment is $< \pm 1\%$ of the beam diameter.

Key words beam centering sensor, laser, micro-computer.